

**ИЗОТОПИЧЕСКИЙ ЭФФЕКТ КАК *EXPERIMENTUM CRUCIS* ДЛЯ
ИДЕНТИФИКАЦИИ МЕХАНИЗМА ВЫСОКОТЕМПЕРАТУРНОЙ
СВЕРХПРОВОДИМОСТИ**

Э.А.Пашицкий

*Институт физики АН Украины,
252650, Киев, Украина*

Поступила в редакцию 28 августа 1992 г.

После переработки 22 сентября 1992 г.

Показано, что наблюдаемое в высокотемпературных сверхпроводниках аномальное ослабление изотопического эффекта по кислороду при повышении критической температуры T_c , вплоть до нулевых и даже отрицательных значений показателя изотопического сдвига T_c , характерно для плазмонного механизма сверхпроводимости. Предлагается прямой эксперимент для идентификации этого механизма высокотемпературной сверхпроводимости (ВТСП).

1. Проведенные недавно измерения изотопического эффекта (ИЭ) по кислороду в $\text{YBa}_2\text{Cu}_3\text{O}_{7-\delta}$ при постоянном содержании кислорода ($\delta = \text{const}$) и частичном замещении атомов Y на Pr и Ca^{1,2}, Cu на Zn³ и Ba на La и Sr⁴ однозначно подтвердили отмечавшуюся ранее⁵⁻⁷ тенденцию к уменьшению показателя изотопического сдвига $\alpha_O = \frac{\Delta T_c}{T_c} \frac{M_O}{\Delta M_O}$ (где ΔT_c – изменение T_c при замещении ¹⁶O на ¹⁸O, M_O – масса атома ¹⁶O, а ΔM_O – разница масс изотопов кислорода) по мере повышения T_c . Более того, в⁴ при замещении Ba на Sr наблюдался нулевой и даже слабо отрицательный ИЭ по кислороду, сопровождающийся понижением T_c .

В настоящей работе показано, что такие аномалии ИЭ характерны для плазмонного механизма сверхпроводимости⁸, когда куперовское спаривание "легких" (*l*) носителей тока в широкой зоне (шириной $W_l > 1$ эВ) происходит, в основном, за счет обмена виртуальными квантами коллективных возбуждений зарядовой плотности почти локализованных "тяжелых" (*h*) носителей заряда в узкой зоне (шириной $W_h < 0,1$ эВ) – так называемыми акустическими плазмонами (АП)^{9,10}, которые гибридизуются с полярными оптическими фононами^{11,12}, в частности, с дипольно-активными колебаниями ионов кислорода O^{2-} в слоях CuO_2 в купратных металло-оксидных соединениях (МОС). Предварительно этот вопрос обсуждался в¹³, однако к настоящему времени появились новые экспериментальные данные^{2,3}, позволяющие провести более детальный анализ проблемы ИЭ в купратных МОС.

2. По сравнению с переходными металлами^{10,14,15} и вырожденными полупроводниками и полуметаллами^{8,16}, эффективность плазмонного механизма сверхпроводимости в слоистых купратных МОС может быть гораздо выше по следующим причинам: а) квазидвумерность электронного спектра, способствующая куперовскому спариванию в импульсном пространстве и образованию связанных пар в реальном пространстве¹⁷; б) существование области межэлектронного притяжения за счет электрон-плазмонного взаимодействия (ЭПВ) во всем объеме зоны Бриллюэна (ЗБ) в случае почти локализованных *h*-носителей заряда в узкой 2D-зоне¹⁸; в) ионность кристалла и гибридизация АП с кислородными оптическими модами¹¹⁻¹³; г) эффекты локального поля¹⁹, которые перенормируют кулоновскую вершину (увеличивают эффективный

заряд) за счет многочастичных корреляций и почти полностью компенсируют неадиабатическую перенормировку константы связи за счет ЭПВ^{8,16}; д) многослойная пакетная структура купратных МОС типа $\text{Bi}_2\text{Sr}_2\text{Ca}_{n-1}\text{Cu}_n\text{O}_x$ и $\text{Tl}_m\text{Ba}_2\text{Ca}_{n-1}\text{Cu}_n\text{O}_x$ ($m = 1, 2$), когда между находящимися на расстоянии $d_0 \approx 3\text{\AA}$ друг от друга сверхпроводящими (СП) слоями CuO_2 в пакете существует эффект близости, и их вклад в плотность состояний (ПС) является почти аддитивным, так что константа ЭПВ равна²⁰:

$$\lambda_{pl}(n) \approx \frac{\alpha_l}{2}n; \quad \alpha_l = m_l^* e^2 / \epsilon_\infty k_{Fl}, \quad (1)$$

где $k_{Fl} = \sqrt{2\pi N_l}$ – ферми-импульс вырожденных l -носителей в 2D-слоях CuO_2 с плотностью N_l (на единицу площади слоя) и эффективной массой m_l^* (порядка массы свободного электрона m_0), а ϵ_∞ – оптическая диэлектрическая проницаемость (ДП) кристалла.

Константа ЭПВ, непосредственно ответственная за куперовское спаривание l -носителей, с учетом поправок локального поля¹⁹ может быть оценена по формуле^{16,20}:

$$\tilde{\lambda}_{pl}(n) \approx \lambda_{pl}(n)[1 + \lambda_{pl}(n)]. \quad (2)$$

Для описания ЭПВ и ЭФВ будем исходить из эйнштейновской модели колебательного спектра с двумя δ -образными пиками²¹: один пик – на частоте гибридных фонон-плазменных колебаний (при $q_{||} \approx 2k_{Fl}$ и $\omega_{LO} \gg \omega_{TO}$)

$$\tilde{\Omega}_+(n) \approx \left[\frac{n^2 \Omega_h^2 k_{Fl} d + \omega_{LO}^2}{1 + \alpha_l n^2} \right]^{1/2}, \quad (3)$$

где $\Omega_h = \sqrt{4\pi e^2 N_h / \epsilon_\infty m_h^* d}$ – плазменная частота h -носителей с 2D-плотностью N_h и эффективной массой $m_h^* = 4/a^2 W_h \gg m_l^*$ (a – постоянная решетки в плоскости слоя); ω_{LO} и ω_{TO} – частоты продольных и поперечных оптических колебаний ионов кислорода O^{2-} в слоях CuO_2 , а второй пик – на частоте Ω_O более высокочастотных колебаний атомов кислорода, расположенных вне купратных слоев ($\Omega_O > \omega_{LO}$).

Для вычисления T_c воспользуемся полученной в²¹ приближенной экспоненциальной формулой, которая в данном случае принимает вид:

$$T_c \approx \tilde{\omega}_0 \exp\{-1/\tilde{\Lambda}\}, \quad (4)$$

где

$$\tilde{\Lambda} = \frac{\tilde{\lambda}_{pl} + \lambda_{ph} - \tilde{\mu}_C^*(1 + \tilde{\lambda}_\infty)}{1 + \lambda_{pl} + \lambda_{ph} + \tilde{\lambda}_0}; \quad (5)$$

$$\tilde{\lambda}_0 = \tilde{\lambda}_{pl} \ln(1 + \tilde{\omega}_0 / \tilde{\Omega}_+) + \lambda_{ph} \ln(1 + \tilde{\omega}_0 / \Omega_O); \quad (6)$$

$$\tilde{\lambda}_\infty = \tilde{\lambda}_{pl} \ln(1 + \tilde{\Omega}_+ / \tilde{\omega}_0) + \lambda_{ph} \ln(1 + \Omega_O / \tilde{\omega}_0); \quad (7)$$

$$\tilde{\mu}_C^* = \tilde{\mu}_C [1 + \tilde{\mu}_C \ln(E_{Fl} / \tilde{\omega}_0)]^{-1}; \quad \tilde{\mu}_C \approx \tilde{\lambda}_{pl}; \quad (8)$$

$$\tilde{\omega}_0 = [(\tilde{\lambda}_{pl} \tilde{\Omega}_+^2 + \lambda_{ph} \Omega_O^2) / (\tilde{\lambda}_{pl} + \lambda_{ph})]^{1/2}, \quad (9)$$

где E_{Fl} – энергия Ферми l -носителей в широкой 2D-зоне.

Константу ЭФВ полагаем равной $\lambda_{ph} = \kappa \lambda_{pl}$, что при $\kappa < 1$ соответствует полярному взаимодействию с высокочастотной кислородной модой Ω_O , ослабленному за счет удаленности ионов кислорода, расположенных в оксидных диэлектрических слоях, от проводящих слоев CuO_2 , где локализованы l -носители.

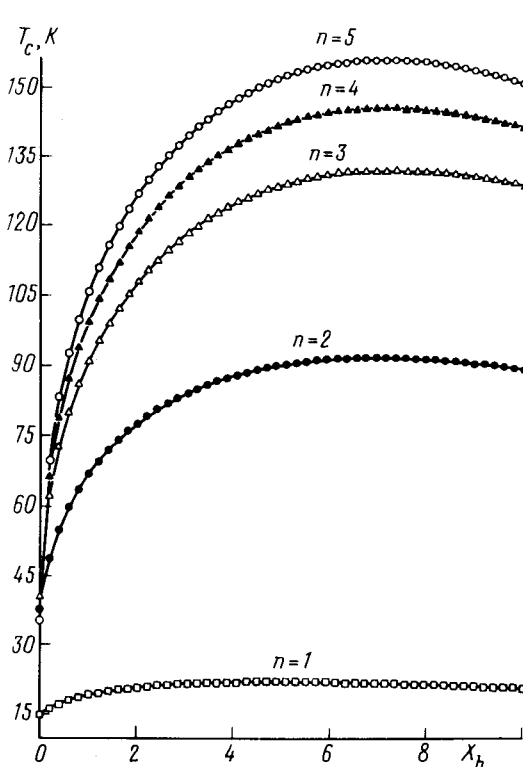


Рис. 1

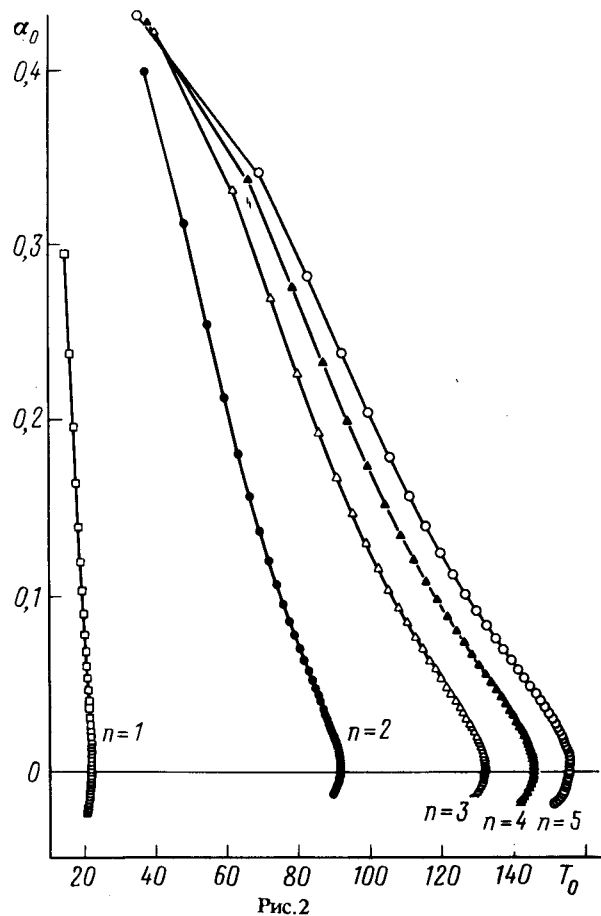


Рис. 2

На рис. 1 представлены зависимости T_c от безразмерного параметра $x_h = \Omega_h^2 / \omega_{LO}^2$ для разных $n = 1 \div 5$ при следующих значениях параметров, типичных для купратных МОС: $a = 4\text{\AA}$, $\epsilon_\infty = 4$, $m_l^* = 1,8m_0$, $\omega_{LO} = 300\text{ K}$, $\Omega_O = 600\text{ K}$ и $\kappa = 0,2$. Концентрация l -носителей считается постоянной и равной $\bar{n}_l = 8 \cdot 10^{21}\text{ см}^{-3}$, поскольку при наличии узкой 2D-зоны с высокой ПС происходит "пиннинг" УФ ($E_{Fl} \approx \text{const}$), и в процессе допирования растет, в основном, концентрация h -носителей. Поэтому зависимость T_c от $x_h \sim N_h$ фактически соответствует экспериментальным зависимостям T_c от концентрации дипиращей примеси или кислорода, то есть от числа дипированных дырок в ПЯ в расчете на один слой CuO_2 ²². Как видим, наблюдается вполне удовлетворительное качественное и количественное согласие теории с экспериментом для $\text{YBa}_2\text{Cu}_3\text{O}_{7-\delta}$ при $n = 2$. В то же время, в отсутствие узкой 2D-зоны и h -носителей ($N_h = 0$, $\Omega_h = 0$) зависимость T_c от плотности \bar{n}_l дипированных l -носителей в широкой 2D-зоне с учетом только полярного ЭФВ с кислородными колебательными модами ω_{LO} и Ω_O , как показывают числен-

ные расчеты, не согласуется ни качественно, ни количественно ($T_c < 40$ К) с экспериментальными данными для купратных МОС.

3. Для анализа ИЭ по кислороду с помощью формул (4)–(9) получим выражение для показателя изотопического сдвига T_c :

$$\alpha_0 \equiv -\frac{\partial \ln T_c}{\partial \ln M_O} \approx \frac{1}{2\tilde{\omega}_0^2(\tilde{\lambda}_{pl} + \lambda_{ph})} \left[\frac{\tilde{\lambda}_{pl}\omega_{LO}^2}{1 + \alpha_l n^2} + \lambda_{ph}\Omega_O^2 \right] \times \\ \times \left\{ 1 - \frac{1 + \tilde{\lambda}_\infty}{1 + \lambda_{pl} + \lambda_{ph} + \tilde{\lambda}_0} (\tilde{\mu}_c^*/\tilde{\Lambda})^2 \right\}. \quad (10)$$

Отсюда следует, что даже при $\lambda_{ph} \ll \tilde{\lambda}_{pl}$ за счет неравенства $\Omega_O^2 \gg \omega_{LO}^2(1 + \alpha_l n^2)^{-1}$ вклад ЭФВ в ИЭ может быть весьма существенным.

На рис.2 представлена зависимость α_0 от T_c , вычисленная с помощью формул (4)–(10) в соответствии с данными рис.1. Фактически такие убывающие с ростом T_c зависимости $\alpha_0(T_c)$ были получены экспериментально для $YBa_2Cu_3O_{7-\delta}$ в ¹ при частичном замещении Y на Pr, в ³ для примеси Zn вместо Cu и в ⁴ при замещении Ba на La (рис.3). Так, например, в смешанном соединении $YBa_2(Cu_{1-x}Zn_x)_3O_{7-\delta}$ добавка всего 9% Zn полностью подавляет сверхпроводимость ³, а показатель ИЭ по кислороду убывает при уменьшении x от $\alpha_0 \approx 0,3$ при $x = 0,08$ и $T_c \approx 7$ К до $\alpha_0 \approx 0,03$ при $x = 0,01$ и $T_c \approx 80$ К (кривая 1).

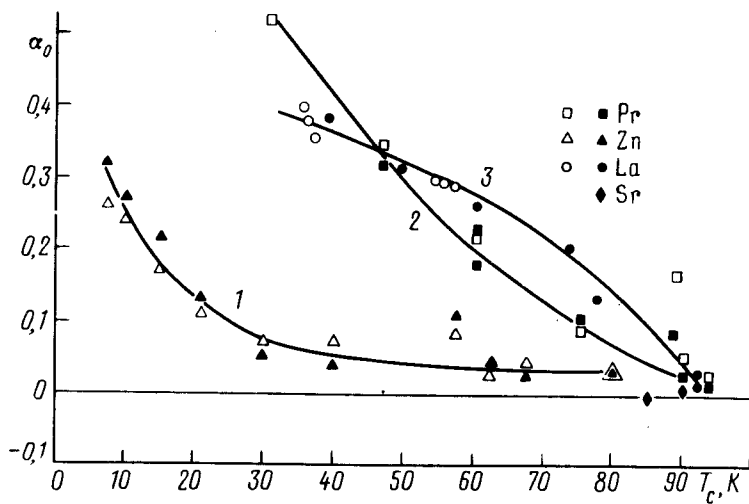


Рис.3.

Согласно ^{1–3}, уменьшение α_0 в $Y_{1-x}Pr_xBa_2Cu_3O_{7-\delta}$ от максимального значения $\alpha_0 \approx 0,55$ при $x = 0,5$ и $T_c \approx 30$ К до $\alpha_0 \approx 0,02$ при $x = 0$ и $T_c = 92$ К в

чистом $\text{YBa}_2\text{Cu}_3\text{O}_{7-\delta}$ (кривая 2 на рис.3) происходит, в основном, из-за возрастания концентрации дипированных дырок при уменьшении содержания Pr, эффективная валентность которого $z^* = 3,8$, и почти не зависит от магнитного момента атомов Pr.

Это подтверждается также результатами экспериментов ⁴ по замещению Ba на La и Sr, атомы которых не имеют магнитного момента. При частичной замене Ba на La в $\text{Y}(\text{Ba}_{1-x}\text{La}_x)_2\text{Cu}_3\text{O}_{7-\delta}$ происходит подавление сверхпроводимости (понижение T_c) благодаря уменьшению концентрации мобильных дырок (в основном, в узкой 2D-зоне), которые локализуются на ионах La^{3+} , замещающих ионы Ba^{2+} в решетке. При уменьшении содержания La наблюдается падение α_0 от величины $\alpha_0 \approx 0,4$ при $x = 0,5$ и $T_c \approx 40\text{ K}$ до $\alpha_0 \approx 0,01$ при $x = 0$ и $T_c \approx 90\text{ K}$ (кривая 3 на рис.3), в качественном соответствии с рис.2 (кривая $\alpha_0(T_c)$ при $n = 2$).

Наряду с этим, в ⁴ наблюдался нулевой и даже отрицательный ИЭ по кислороду с понижением T_c в $\text{Y}(\text{Ba}_{1-x}\text{Sr}_x)_2\text{Cu}_3\text{O}_{7-\delta}$ при увеличении x . Казалось бы, замена Ba на изовалентный ему Sr вообще не должна влиять на T_c и α_0 . Но за счет меньшего радиуса ионов Sr^{2+} по сравнению с ионами Ba^{2+} , по-видимому, создаются благоприятные условия для пересыщения МОС кислородом и продвижения в область более высоких дырочных концентраций, в которой T_c после прохождения максимума начинает понижаться (рис.1), а показатель ИЭ по кислороду $\alpha_0 < 0$ (рис.2).

Следует подчеркнуть, что зависимость α_0 от T_c в отсутствие узкой 2D-зоны вблизи УФ, а следовательно, \hbar -носителей ($N_\hbar = 0$) и ветви АП ($\Omega_\hbar = 0$), является прямо противоположной: α_0 нарастает с повышением T_c от отрицательных значений при низких T_c до положительных значений $\alpha_0 \approx 0,4 \div 0,5$ при максимальных T_c , что типично для фононного механизма сверхпроводимости ^{7,23}, но противоречит экспериментальным данным для купратных МОС ¹⁻⁷.

Наиболее чистым экспериментом для определения величины и знака α_0 в области максимума и понижения T_c , который мог бы дать прямой ответ на вопрос о механизме ВТСП (при $\alpha_0 \leq 0$ – плазмонный, а при $\alpha_0 > 0$ – фононный), является частичное замещение Y на Ca (в ² такая замена проводилась в присутствии 20% Pr) или Ba на K в $\text{YBa}_2\text{Cu}_3\text{O}_7$, а также тщательное измерение α_0 при изменении содержания кислорода или концентрации дипиращих примесей вблизи максимума T_c в многослойных купратных МОС типа BiSrCaCuO и TlBaCaCuO .

В заключение выражаю искреннюю благодарность д-ру Дж.Франку, который прислал копии своих работ ^{2,3} до их опубликования, и А.Г.Назаренко за помощь в компьютерных расчетах.

-
1. J.P.Franck, J.Jung, M.A.-K.Mohamed et al., Phys. Rev. B **44**, 5318 (1991).
 2. J.P.Franck, S.Gygax, J.Jung et al., Proc. of the Workshop on Elect. Struct. and Mechanisms for High T_c Superconduct., University of Miami, January 1991, N.Y-London: Plenum-Press, 1991.
 3. J.P.Franck, A.Hratin, M.K.Yu et al., Proc. of the Workshop on Lattice Effects in High T_c Superconduct., Santa Fe, January 1992. Singapore: World Scientific, 1992.
 4. H.J.Bornemann and D.E.Morris, Phys. Rev. B **44**, 5322 (1991).
 5. B.Batlogg, R.J.Cava, L.W.Rupp et al., Phys. Rev. Lett. **61**, 1670 (1988).
 6. H.Katayama-Yoshida, H.Hirooka, A.Oyamada et al., Physica C **156-158**, 481 (1988).
 7. P.B.Allen, Nature **335**, 258 (1988).

8. Э.А.Пашицкий, ЖЭТФ **55**, 2387 (1968); СФХТ **3**, 2669 (1990).
9. D.Pines and J.R.Schrieffer, Phys. Rev. **124**, 1387 (1961).
10. J.Ruvalds, Adv. Phys. **30**, 677 (1981).
11. Э.А.Пашицкий, Укр.физ.жур. **14**, 1882 (1969).
12. Э.А.Пашицкий, В.Л.Макаров, С.Д.Терещенко, ФТТ **16**, 427 (1974).
13. Э.А.Пашицкий, Письма в ЖЭТФ **55**, 301 (1992).
14. J.W.Garland, Phys. Rev. **153**, 460 (1967).
15. H.Fröhlich, Phys. Lett **A 28**, 169 (1968); J.Phys. C **1**, 544 (1968).
16. Э.А.Пашицкий, В.М.Черноусенко, ЖЭТФ **60**, 1483 (1971).
17. Schmitt-Rink, C.M.Varma, A.E.Ruckenstein, Phys. Rev. Lett. **63**, 445 (1989).
18. Э.А.Пашицкий, Ю.М.Малозовский, А.В.Семенов, ЖЭТФ **100**, 465 (1991); Укр. физ. журн. **36**, 889 (1991).
19. О.В.Долгов, Е.Г.Максимов, УФН **138**, 95 (1982).
20. Э.А.Пашицкий, Письма в ЖЭТФ **55**, 332 (1992); **56**, 364 (1992).
21. М.В.Медведев, Э.А.Пашицкий, Ю.С.Пятилетов, ЖЭТФ **65**, 1186 (1973).
22. J.B.Torrance, A.Bezinge, A.I.Nazzal, and S.S.Parkin, Physica C **162-164**, 291 (1989).
23. Ю.С.Пятилетов, ФММ **36**, 679 (1973).